Der Horizontalfilterbrunnen

- Erfahrungen aus Planung, Bau, Monitoring und Regenerierung -

Planung Bau Monitoring Regenerierung



Daffner, Th., Börner, F., Klee, M., Lay, M., Wicklein, A.

(UBV Umweltbüro GmbH Vogtland / TU Berlin / DGFZ e.V. / pigadi GmbH)









Gliederung

- 1. Kurzübersicht (Reminiszenz) zum Horizontalfilterbrunnen (HBr)
- 2. Entwicklungen beim HBr (Planung / Bau / Monitoring)
- 3. ausgewählte Ergebnisse aus F/E –Arbeiten zum HBr
- 4. Erfahrungen bei der Regenerierung von Horizontalfilterbrunnen
- 5. Zusammenfassung

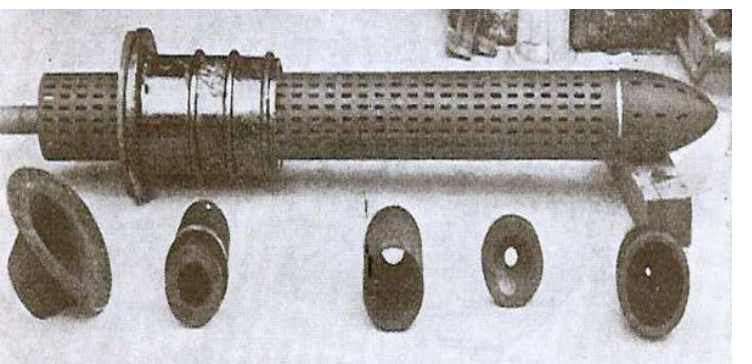








1. Kurzübersicht (Reminiszenz) zum Horizontalfilterbrunnen (HBr)





Historisches:

ca. 1920 Erdölingenieur L. Ranney1. RANNEY-HBr in Texas Erdölabbau entwickeltsw >= 6 mm; starkwandiges Filterpressrohr

1933 in London Wasserversorgung

1. HBr für Brauchwasser für die Industrie gebaut

ca. 1936 Canton (Ohio) Wasserversorgung

1. HBr für Trinkwasserversorgung

1947 Dr. H. Fehlmann Wasserversorgung Stadt Bern 1. FFHI MANN – HBr errichtet

Viele FEHLMANN-HBr gibt es noch, auch in unserem Land und in Österreich wurden und werden in den Grobkiesen der Donau hauptsächlich aus fachlichen, praktischen und wirtschaftlichen Gründen diese Art der HBr erfolgreich gebaut









Historisches:

1953 Erfindung des Horizontal-Kiesmantel-HBr auch PREUSSAG-HBr genannt

1953 1. HBr in Leipziger Wasserwerk Nauenhof als RANNEY-HBr

Fachtagung der KdT "Horizontalfilterbrunnen" 26./.27.10.1967 Magdeburg (mit Beiträgen von Prof. Dr. habil. Busch und Dr. Beyer) danach HBr in Schönebeck, Tettau, Naumburg,









1. Kurzübersicht (Reminiszenz) zum Horizontalfilterbrunnen (HBr)

- Horizontalfilter sind zwischenzeitlich herstellbar:
 - Unterirdischen Vortrieb (z.B. WW Tettau, Oberhausen, Fa. SCHREINER, M.-Plank-Inst. Garchingen, Hoyerswerda, Senftenberg, Dresden ZKV Neumarkt, Dresden ALTMARKTGALERIE, Augsburg, Brieske, Petersaue, Hamburg, SAFIRA Bitterfeld, Wien, Hainburg a.D., Görlitz, Potsdam, etc.)
 - Ranney- (FALLY), Fehlmann-, Kies-Mantelverfahren mit verlorenen Bohrkopf (ungesteuertes Bohrverfahren)
 - Kies-Mantelverfahren im gesteuerten Bohrverf. z.B. WHD nur in Grimma und SFB / Microtunneling ohne Zielschacht in Böhlen oder Microtunneling (ohne Bentonit) mit Zielschacht mit rückgewinnbaren Bohrkopf in Essen
 - Überschnittbohrungen nach Kelly oder Abt (z.B. Hessenwasser, HBr 6 Senftenberg, WV Riesa, München)
 - Offener Verlegung der Filterrohre (z.B. MVPI Jacobsthal)











Der Horibrunnen sollte unter folgenden Gesichtspunkten zum Einsatz kommen:

Einsatzstärken

- besonders bei kleinen M_{GW}
- bei vertikal geschichteten k_f
- bei vertikal Anisotropie c_{GW}
- wenn große Wassermengen von einem Standort zu erschließen sind
- begrenzte Liegenschaften und Trassen
- weniger empfindl. Gegenüber Wasserspiegelschwankungen
- flache GW-Absenkung gewünscht
- Druckentlastung unter Gebäuden
- Verringerung Verockerungsgefährdung
- vglw. Lange Lebensdauer infolger sehr größerer Filtermantelfläche und geringer kritischer Filtereintrittsgeschwindigkeit
- Zusätzliche Filterstränge oder Ersatz mgl.
- geringere Energiekosten

Einsatzgrenzen

- etwas größere BE
- Investkosten
- [●] Kluft-/Karst-GWL

Einsatz in Bereichen:

- Trinkwasserversorgung
- Industriewasserversorgung
- Kühlwasser
- Grundwasserniederhaltung
- Hochwasserschutz
- hydrotherm. Wärme-/Kältevers.
- Altlastensanierung
- GW-Dükeranlagen







1. Kurzübersicht (Reminiszenz) zum Horizontalfilterbrunnen (HBr)



HBr in funnel & gate Lauchhammer (LMBV)



HBr Duisburg Aldenrade zur Grundwasserniederhaltung



HBr ZKV – Zentrale Kälteversorgung Neumarkt (DREWAG)



HBr Oberhausen zur Grundwasserniederhaltung









1. Kurzübersicht (Reminiszenz) zum Horizontalfilterbrunnen (HBr)





HBr MiRO Karlsruhe Industriewasserbereitstellung



Rheininsel HBr Petersaue in Hochwasserausführung zur Trinkwasserversorgung

Umweltbüro GmbH Vogtland
Thossener Straße 6
08538 Weischlitz

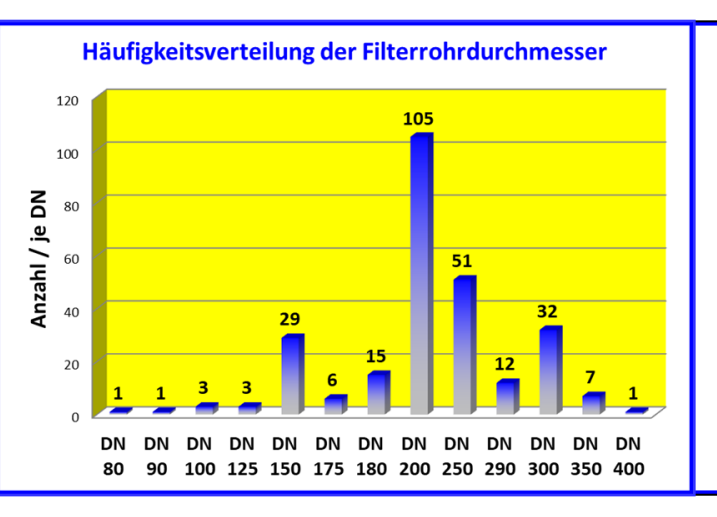


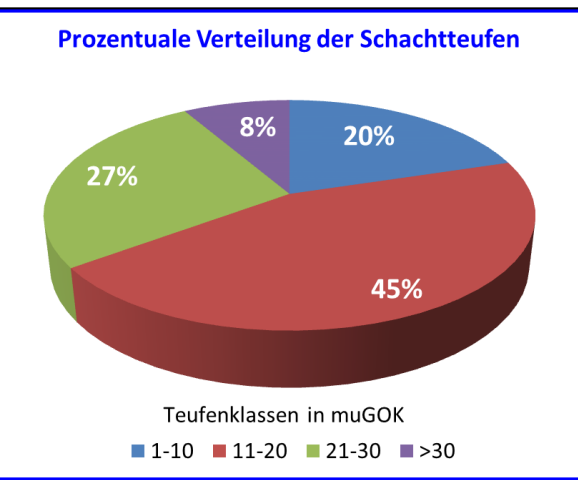


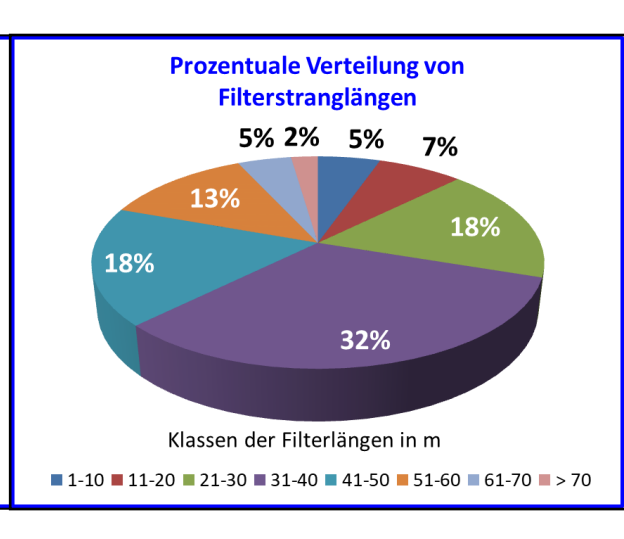




2. Neue Entwicklungen beim HBr (Planung/Bau / Betrieb)







Anzahl erfasster HBr davon mit geolog./hydrogeol./techn. Informationen untersetzt Anz. an HBr in Deutschland Anzahl an HBr in Europa Davon Nassaufstellung Davon Trockenaufstellung Über 1770 Filterstränge mit einer Länge mehr als Schächte mit einem Innendurchmesser von

> 350 266 204 46 92% 8% 63.400 m 2000 – 5000 mm



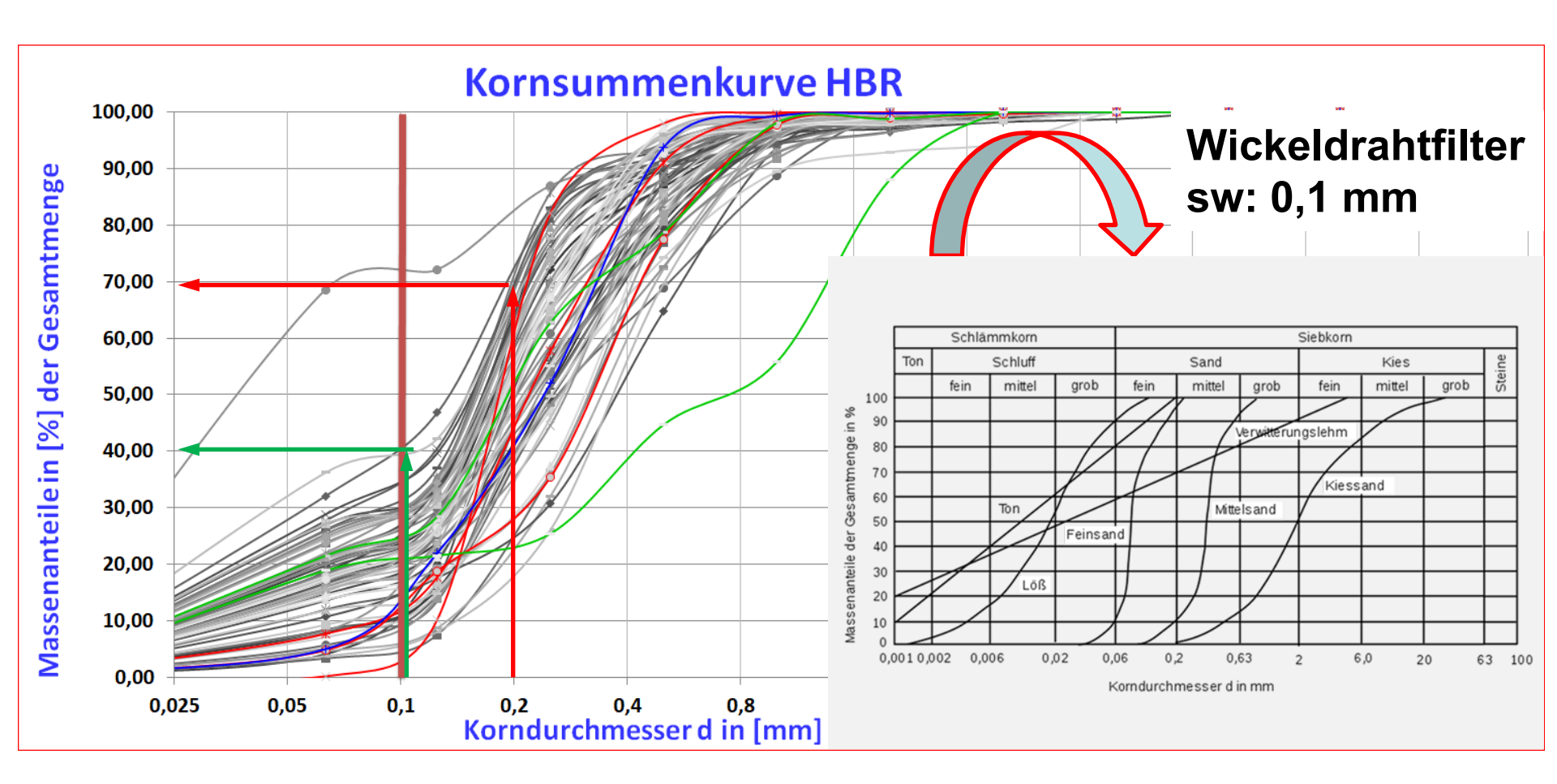






2. Neue Entwicklungen beim HBr (Planung/Bau / Betrieb)

hydrogeolog. RB von Filtersträngen an verschiedenen HBr im Grenzbereich Granulometrie mit sehr hohem Anteil an Schluff bis Feinsand



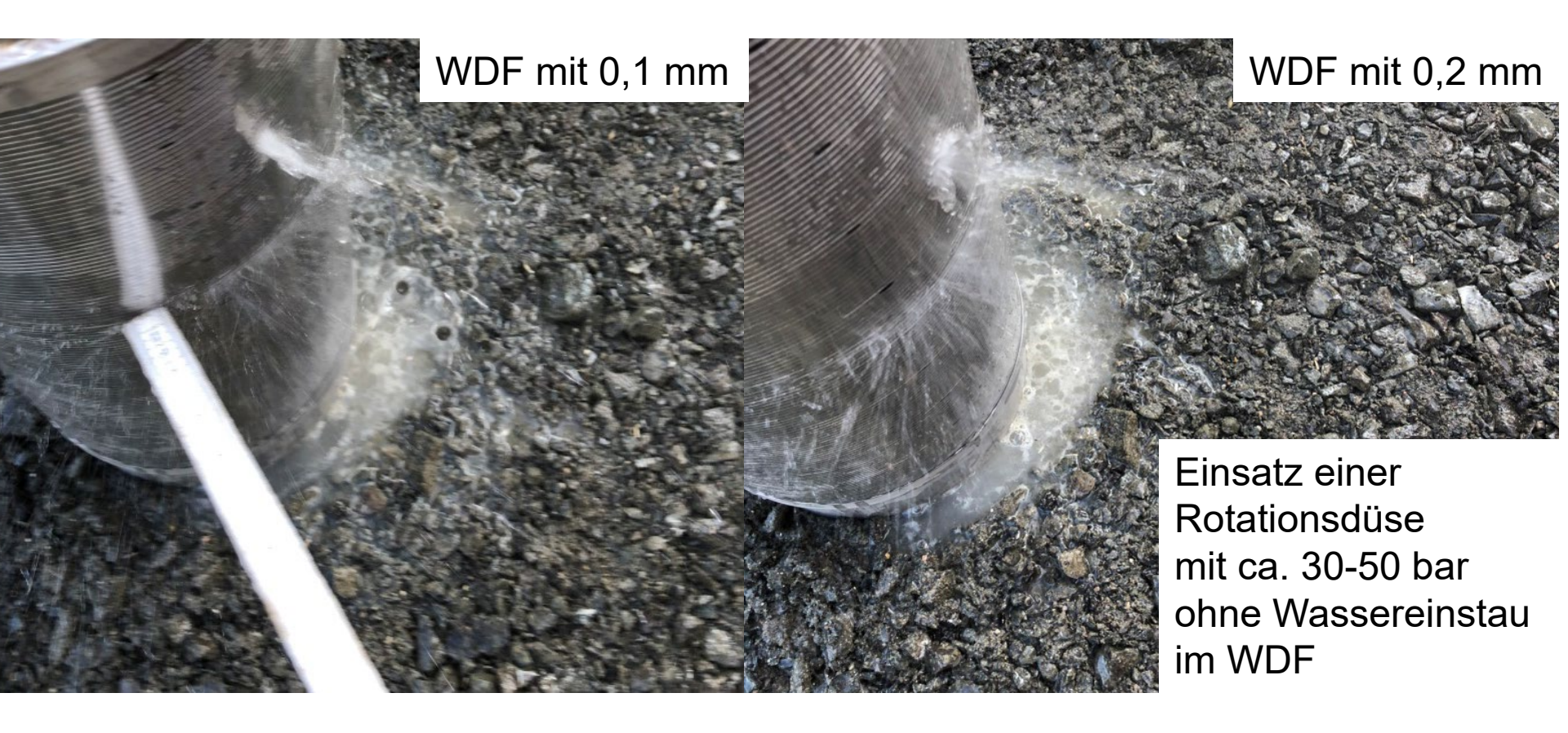








Kleintechnische Nachweise der Möglichkeiten/Grenzen der Filterentwicklung



max. Reichweite des Wasserstrahles ca. 50 cm (Spritzer) ohne Gebirge dichter Wasserfilm für Entwicklung ca. 5-10 (cm ohne Gebirge) Unterschied zw. 0,1 mm und 0,2 mm sw nur in der Dichte des Wasserfilms









Kleintechnische Nachweise der Möglichkeiten/Grenzen der Filterentwicklung

Mit den Versuchen unter realitätsnahen Bedingungen konnte der Einsatz von Wickeldrahtfiltern vor der Ausführung nachgewiesen werden



prognostizierter Grundwasserüberstand



entwässerbarer Filterringraum bei sw = 0,1 mm Ds : 0,4 – 0,8 mm



Entwicklungsnotwendigkeit der Bohraureole wegen bautechnologisch bedingter Skineffekte

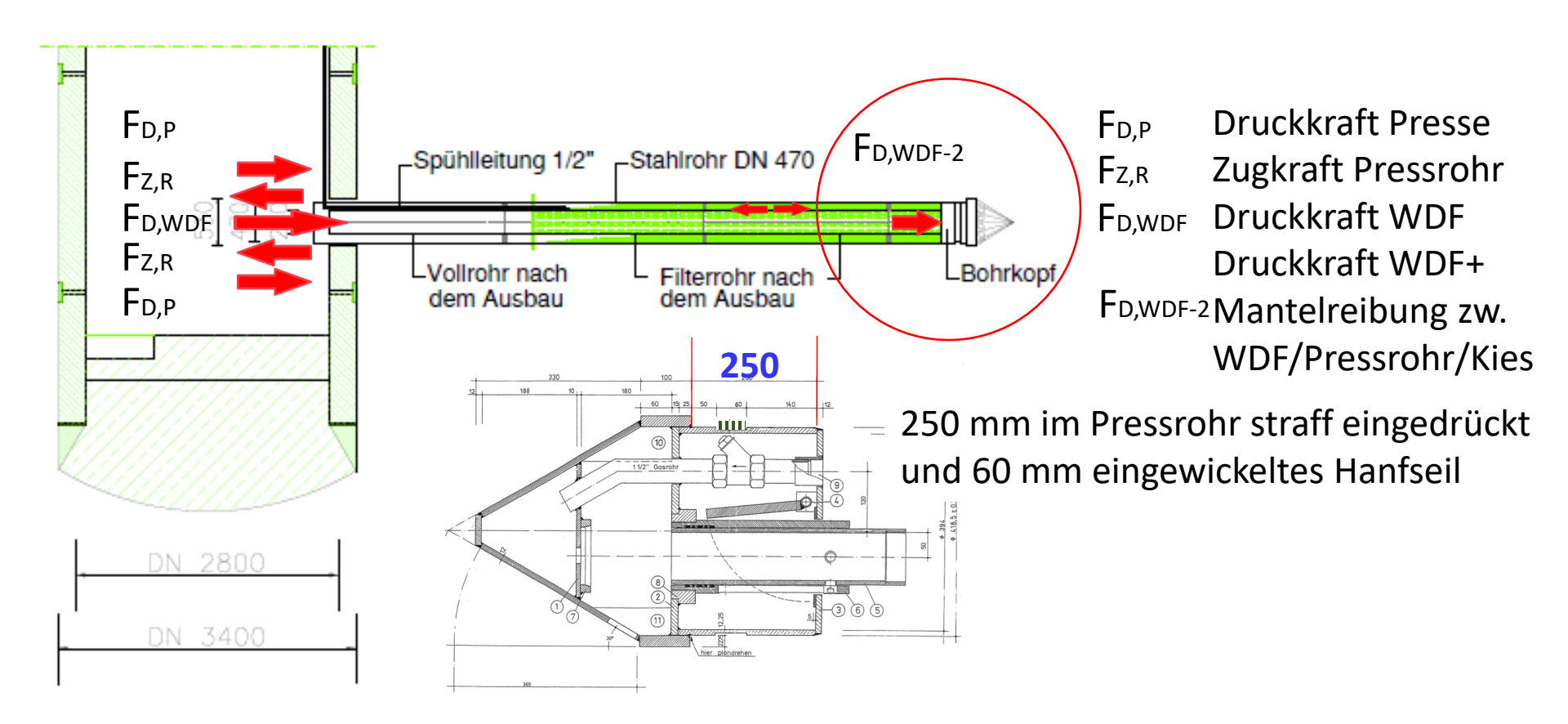








Maßgebliche Kräfte bautechnologisch begründet



Vertikalschnitt Horibrunnen mit Bohrkopf









Wickeldrahtfilterkorb

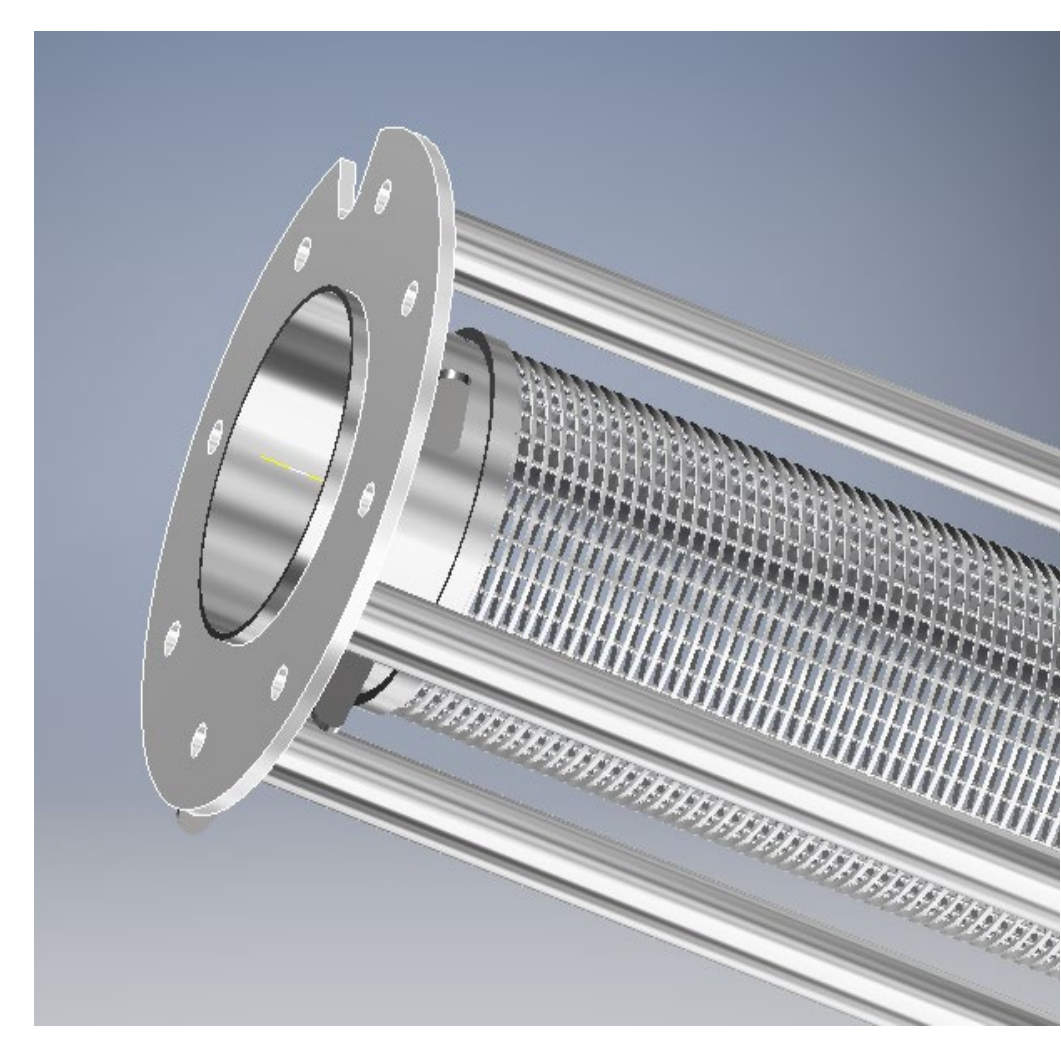
- Offene Filterfläche
- Außendruck beim Einbau
- Axiale Zug-/Druckfestigkeit
- Spaltweite

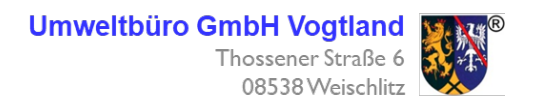
Stützrohre

- Aufnahme zusätzlicher axialer Kräfte infolge des Einbaus
- Aussteifung zwischen den Flanschen
- Optionaler Einsatz als Piezometerleitung

Sonderflansch

- Einbauanforderungen
- Kraftflussanforderungen
- Schweißanforderungen
- Verbindungsanforderungen











Wirkenden Belastungen/Anforderungen entsprechend dimensionieren

Profildraht außen

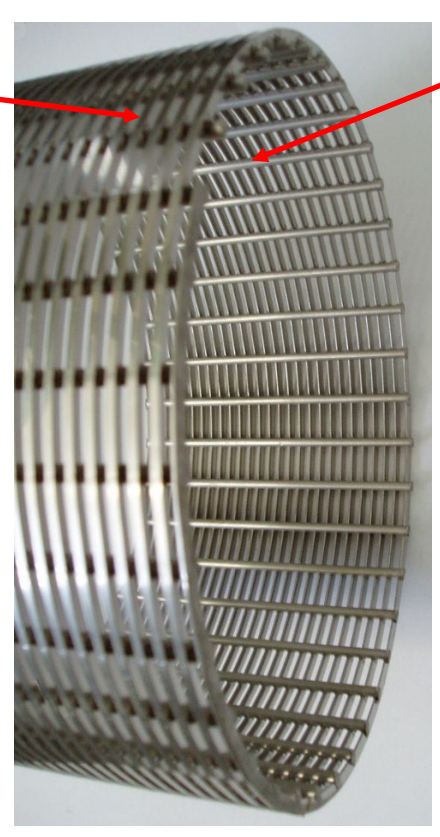
bestimmt Außendruckfestigkeit

DIN4900 folgend nach AD-B6

$$p_{zul} = \frac{E}{S_K} * \frac{20}{1 - u^2} * \left(\frac{s_e - c_1 - c_2}{D_a}\right)^3$$

Profilauswahl zur Erfüllung Bedingung: $p_{zul} \geq p_A$





Stützdrähte innen in Längsrichtung

bestimmen zulässige Druckspannungen

Druckspannungsrechnung

$$F_{dWDF} = \frac{\sigma_{dzul} * A_{St}}{S_D}$$

Periodisch Gitterstruktur verhindert Knicklasten

Fallunterscheidung:

$$F_A \geq F_{dzul} = F_{dWDF}$$

Zusätzliche Stützrohre notwendig

$$F_A \leq F_{dzul} = F_{dWDF} + F_{dSt}$$











Versuchsdurchführung – Kontrolle der sw vor / nach Druckbelastung



	Anz. der Messungen						
sw	64						
0,05	14	22%					
0,1	49	77%					
0,15	1	2%					

Druckkraft von 8 t (10 bar)

	Anz. der Messungen					
sw	6	64				
0,05	8	13%				
0,1	56	88%				
0,15	0	0%				

Stützstäbe: 4 Stck. DA/D26,9 x 2,6

mit ständiger exakter Aufnahme der sw zu allen Versuchsabschnitten



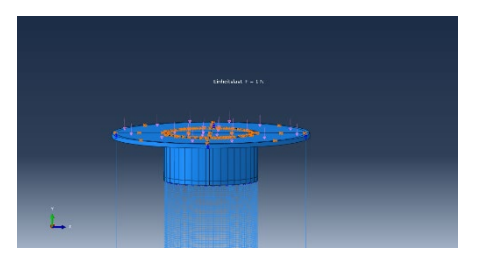


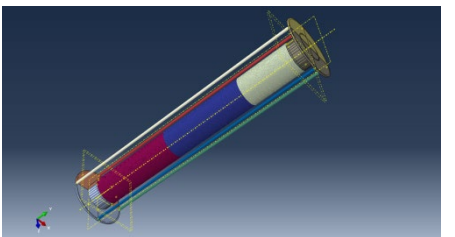


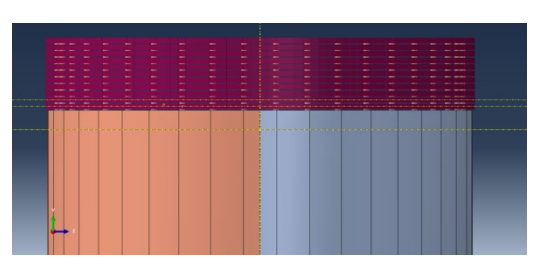


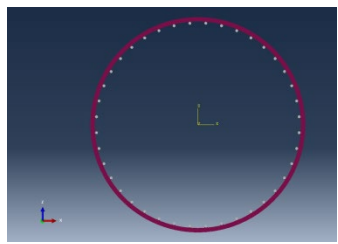
FEM-Berechnung = Nachrechnung der Technikumsversuche

Übertragung der Realgeometrie in die Rechnergeometrie für FEM-Berechnung

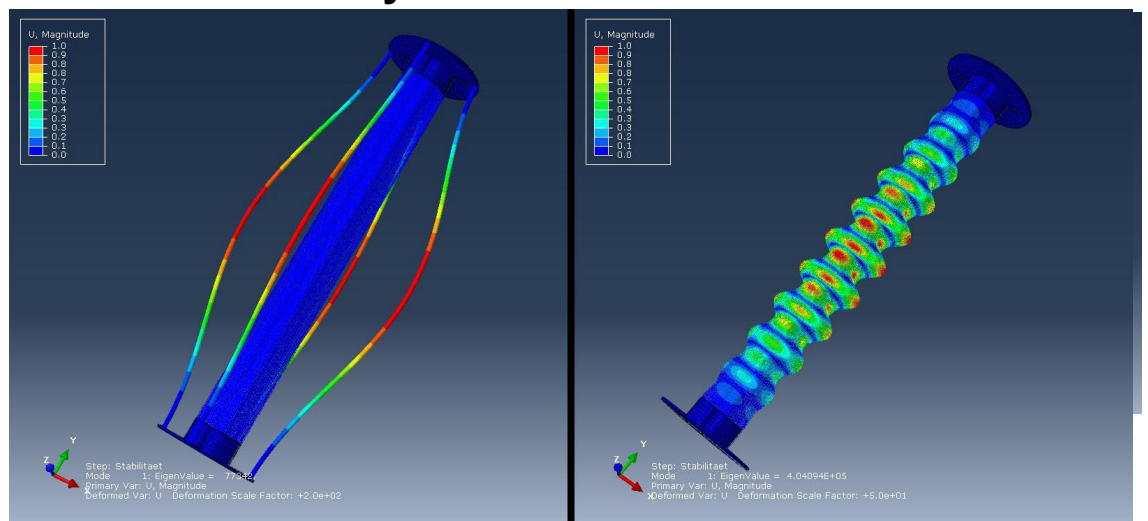








Differenzierte Analyse der Knicklasten von Stützrohren/Korb



Stabilitätsanalyse

- 1. Knicklast mit 4 Stützrohre von 7,88 t
- Model ohne Stützrohre von 41 t

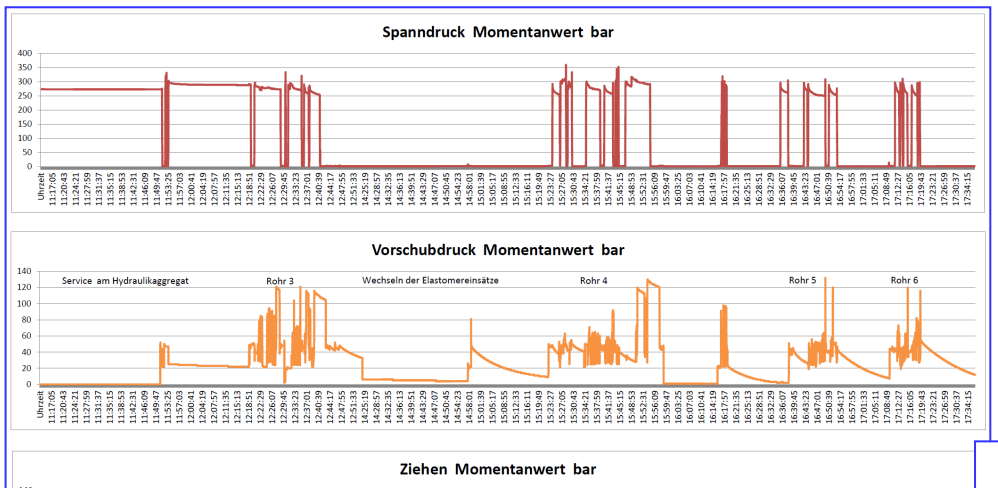








2. Neue Entwicklungen beim HBr (Planung/Bau / Betrieb)



In den ersten Jahren der HBr-Errichtung waren die systematische bohrbegleitende Aufnahme von Kräften noch nicht SdT

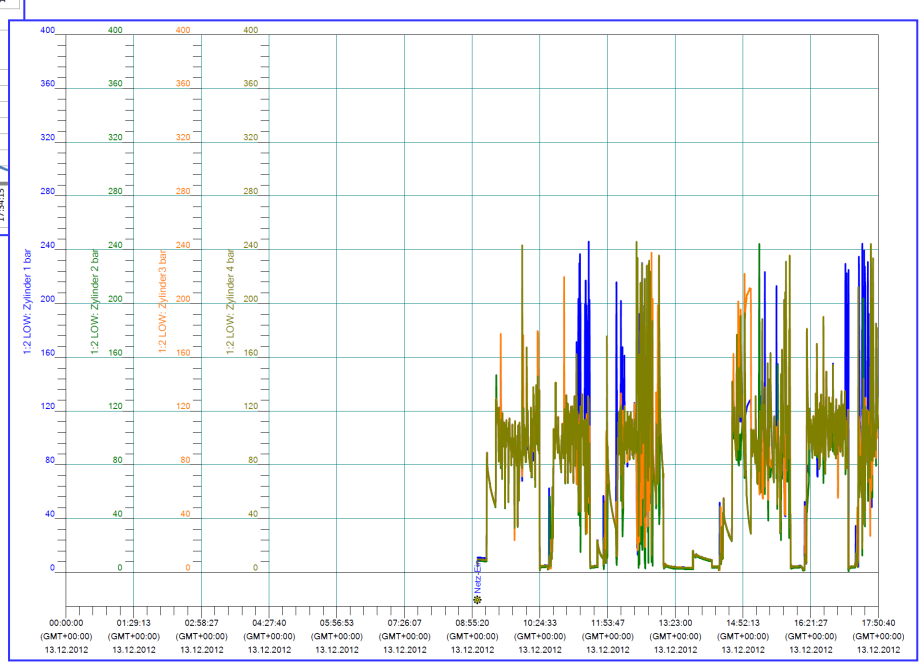
Sicherheit gegen weiteres Bohren Zusatzstrang gegen Plankosten



Spanndruck, Vorschub-Presskraft und Ziehen zur Kontrolle des Strangvortriebes werden zwischenzeitlich quasikontinuierlich mit dem Bohren korrespondierend gemessen.

Einsatz zwingend unter Gebäuden!

Es dient zusätzlich für die Kontrolle der Einhaltung der statischen Berechnungen.



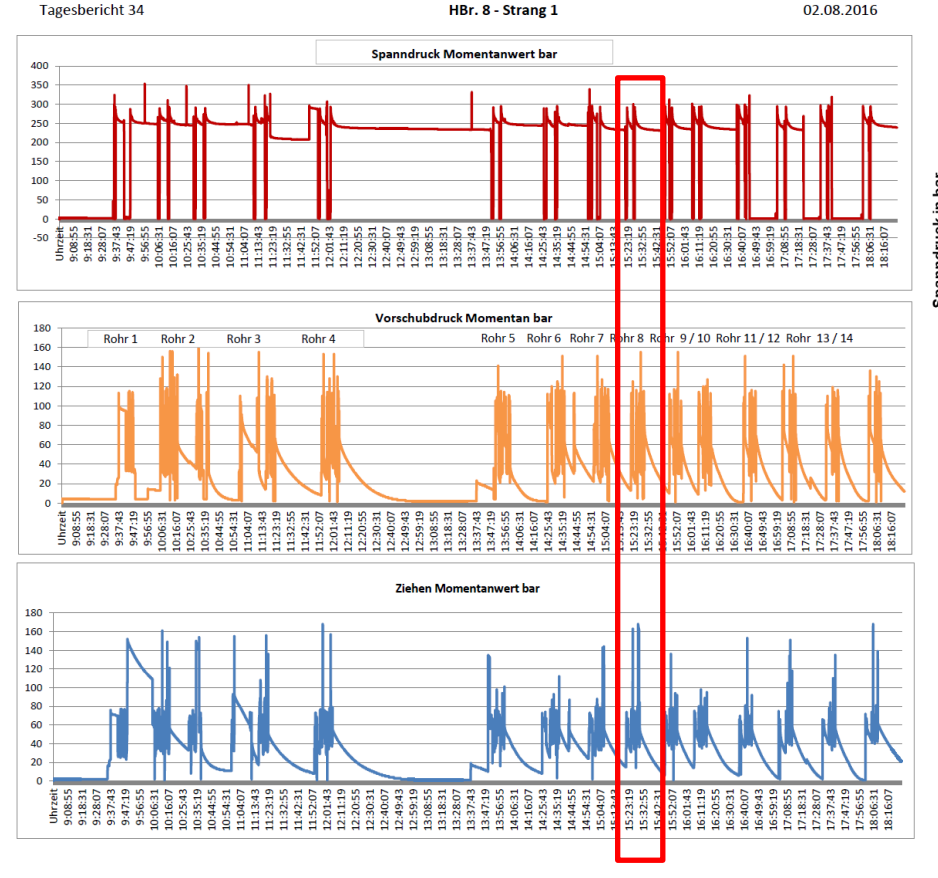




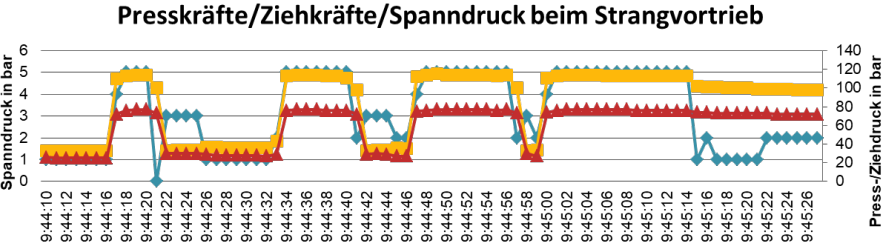








Detailauswertung



Senkschächte werden immer schlanker, Pressmaschinen leistungsfähiger,

Bisherige Sicherheiten in der Statik müssen neu hinterfragt werden!

Ganz wesentlich: der Bohrbetrieb darf nicht nur Presskraft und Fläche der Abtragung an den Schachtring angeben!

Strangvortrieb erfolgt durch Pendelbewegung des Pressrohres mit vor/zurück -> weiter vor/wenig zurück. Dabei wird das Bohrgut (Unterkorn) durch GW-Überdruck in das Rückspülrohr ausgetragen.

Je Meter Horizontalfilterohr werden ca. 30-50 x Presskräfte eingetragen

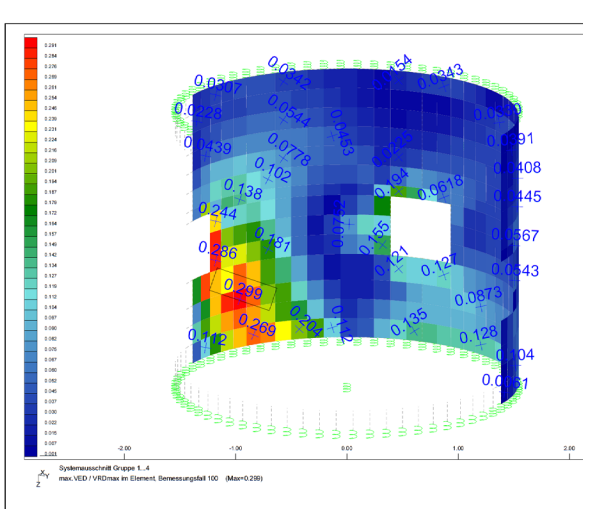
-> pro 60m Strang incl. Ziehen: 3600-6000 Lastwechsel











FEM-Statik:

Wandstärke und Bewehrung für

1000kN bis 1600kN (rd. 160 t) und Rissweitenbeschränkung < 0,1mm





Geriplan - Ingenieurbüro für Bauplanung Dipl.-Ing. J. Gerisch









2. Neue Entwicklungen beim HBr (Bau / Betrieb)

Weitere Entwicklungen betreffen:

- Neue Maßnahmen zum Arbeitsschutz während der Bauphase (Wegfallen des Spillen Auf-/Abdrehen von Gewindebohrpressrohre mittels Seil und Arbeiten unter schwebenden Lasten)
- Anwendung neuer Messverfahren zur Überwachung von Bautoleranzen
- Anwendung von Dichtemessung für das ausgetragene Bohrgut mittels Gammastrahlung < 1 µSv/h und Detektor
- Nachweis für die Nichtanwendung von Glaskugeln beim Horizontalfilterausbau









2. Neue Entwicklungen beim HBr (Planung / Bau / Betrieb)



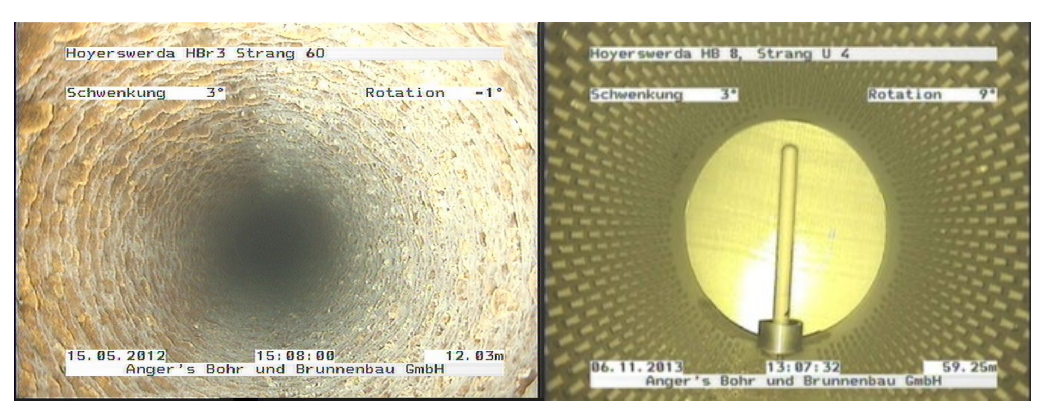


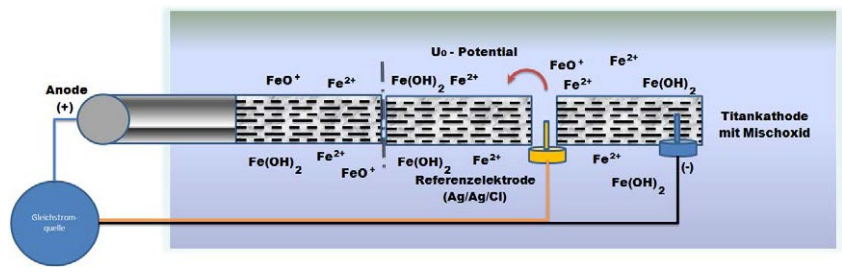






3. Erste Ergebnisse aus F/E zum HBr - Anodischer Verockerungsschutz

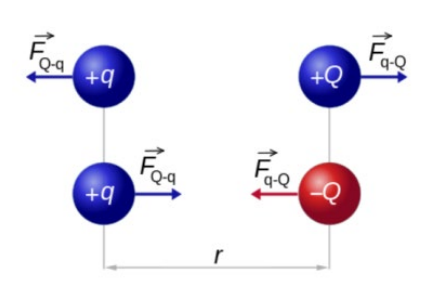




HBr 3 ohne AVS (links), HBr 8 mit AVS (rechts) nach 10 Jahren Betrieb

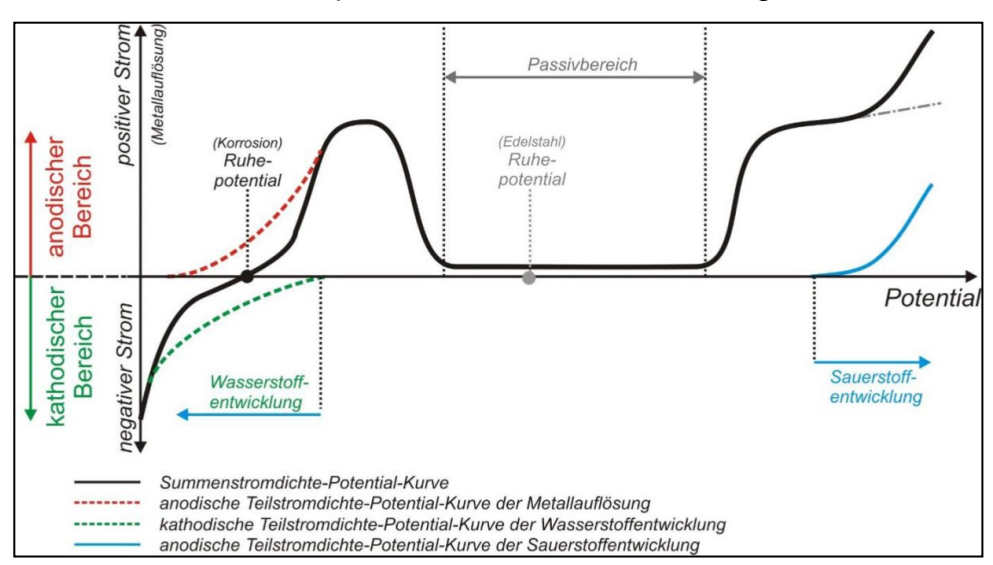
Prinzip des anodischen Verockerungsschutzes

Coulomb'sches Gesetz:



$$I\overrightarrow{F_{Q-q}}I = I\overrightarrow{F_{q-Q}}I = k \frac{Iq \times QI}{r^2}$$

- Nutzung der coulomb'schen Wechselwirkung über die chemische Wechselwirkung
- Verschiebung des Potentials durch Aufprägen eines äußeren Stroms in positiven (anodischen) Bereich
- Bestimmung von Schwellenwerten anhand von
 Stromdichte-Potential-Kurven



schem. Darstellung der Stromdichte-Potential-Kurve für Edelstahl (Tenzer, 2014)

Umweltbüro GmbH Vogtland









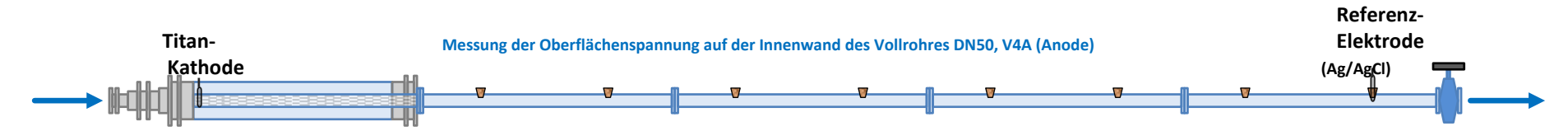
3. Erste Ergebnisse aus F/E zum HBr - Anodischer Verockerungsschutz

Die Höhe der aufzuprägenden Stromstärke wird beeinflusst durch:

- Dimension und Material des Filterstrangs
- Wasserchemismus im Filterstrang (Eisengehalt, Sauerstoffgehalt, TOC-Gehalt, Temperatur, pH-Wert, Redoxpotential, Filtereintrittsgeschwindigkeit)

Die optimalen Einsatzparameter für den anodischen Verockerungsschutz müssen für jeden Filterstrang einzeln bestimmt werden.

Nutzung einer mobilen Versuchsanlage



Aufbau der Versuchsanlage (oben: schematisch, unten: im Feld)







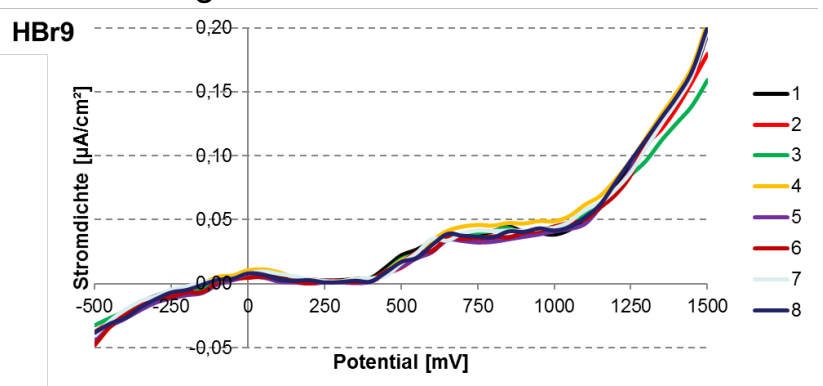


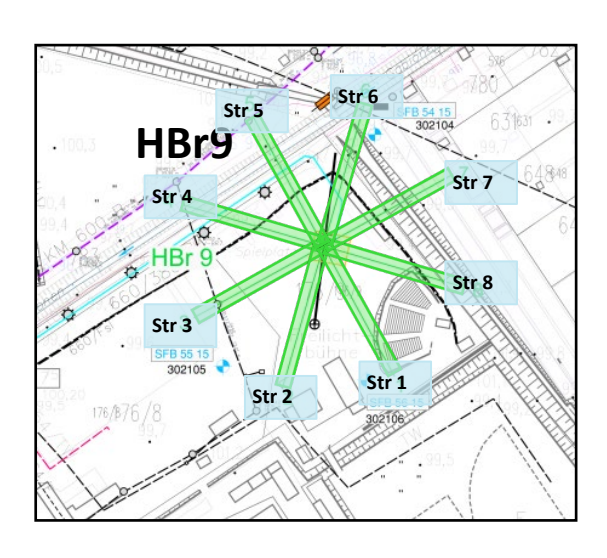


3. Erste Ergebnisse aus F/E zum HBr - Anodischer Verockerungsschutz

Feldergebnisse (exemplarisch HBr 9, Brieske/ Senftenberg)

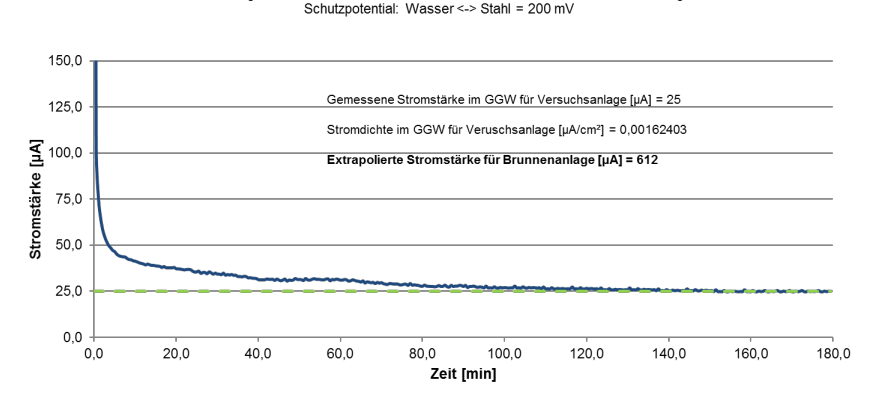
1. Bestimmung Stromdichte-Potential-Kurven mit originärem Wasser





2. Bestimmung Stromstärke im Gleichgewicht mi originärem Wasser für die Versuchsanlage

Bestimmung der Stromstärke im GGW für die Versuchsstrecke:



3. Extrapolation der Stromstärke im Gleichgewicht auf den Filterstrang

$$I_{Strang = I_{GGW}*} \frac{O_{innere_strang}}{O_{innere_Versuchsanlage}} [\mu A]$$

Ausblick:

Entwicklung eines nachrüstbaren AVS in horizontale Filterstränge

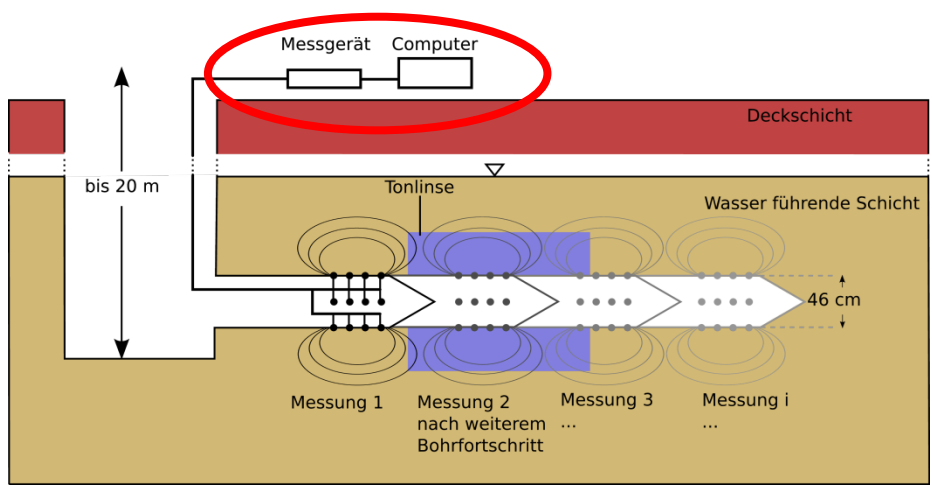


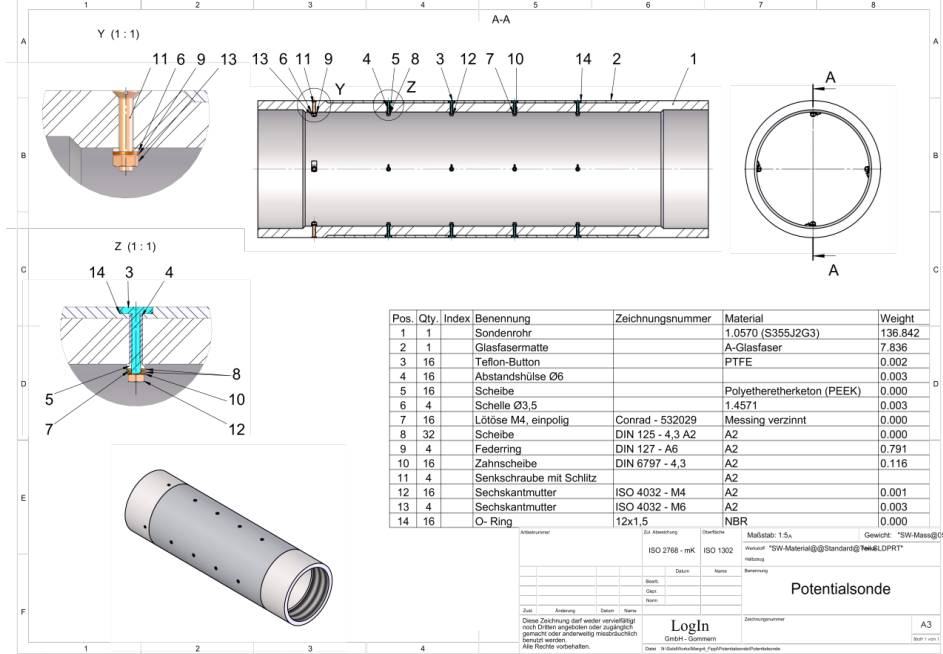






3. Erste Ergebnisse aus F/E zum HBr – Geophysik beim Strangvortrieb















Thossener Straße 6 08538 Weischlitz

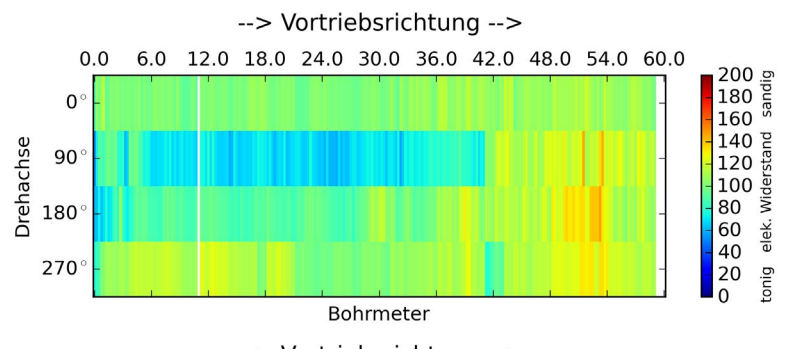


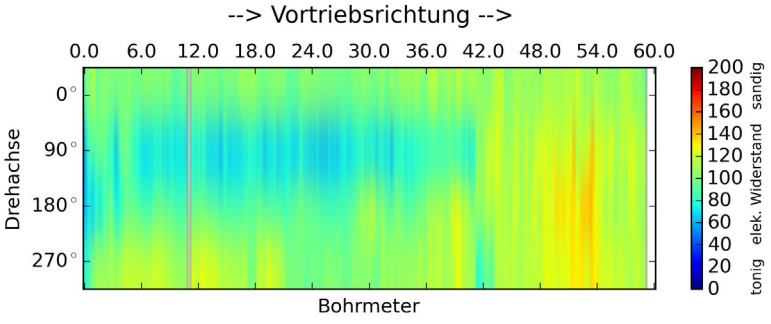




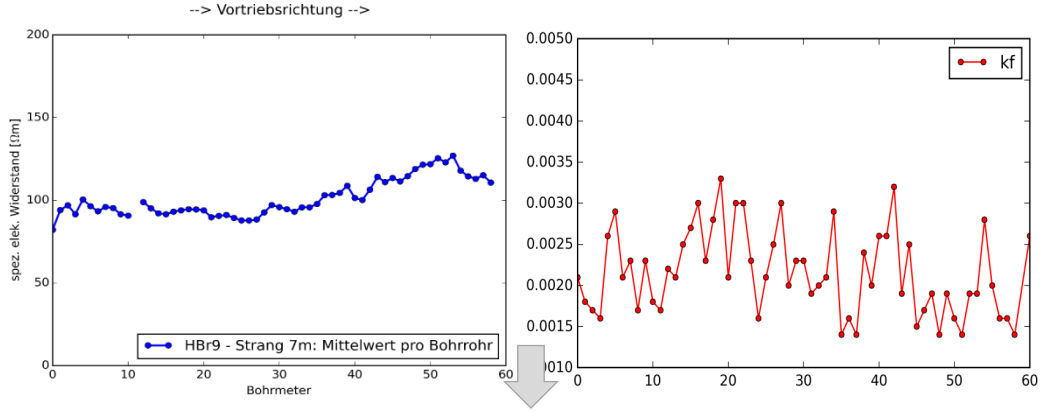
3. Erste Ergebnisse aus F/E zum HBr – Geophysik beim Strangvortrieb

Feldergebnisse für 60 m Strangvortrieb (Messung in 4 Richtungen)

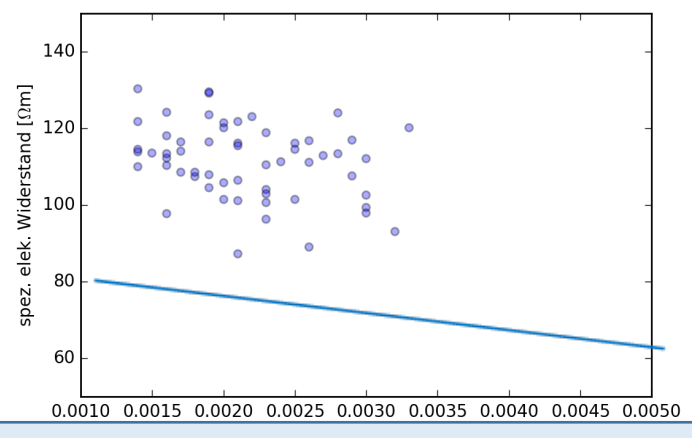




Ton = $5 - 20 \Omega m$ Schluff = $20 - 100 \Omega m$ Sand _{nass} = $50 - 100 \Omega m$ Sand _{kiesig} = $100 - 200 \Omega m$



Korrelation zwischen elektrischem Widerstand und Durchlässigkeit



Ausblick:

Entwicklung widerstandsfähigeres Dichtungsmaterial Drahtlose Datenübertragung der Vorortmessungen



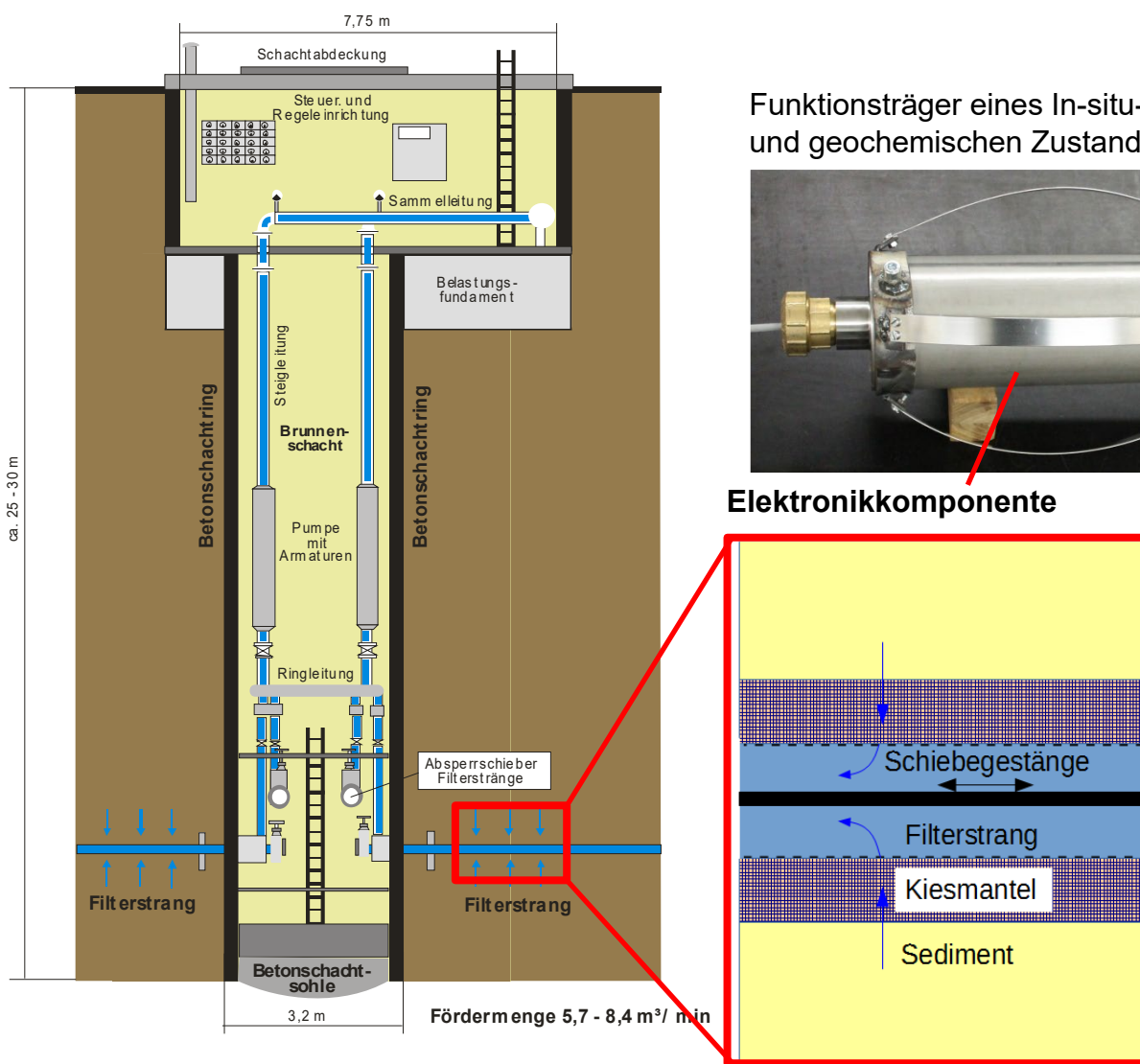




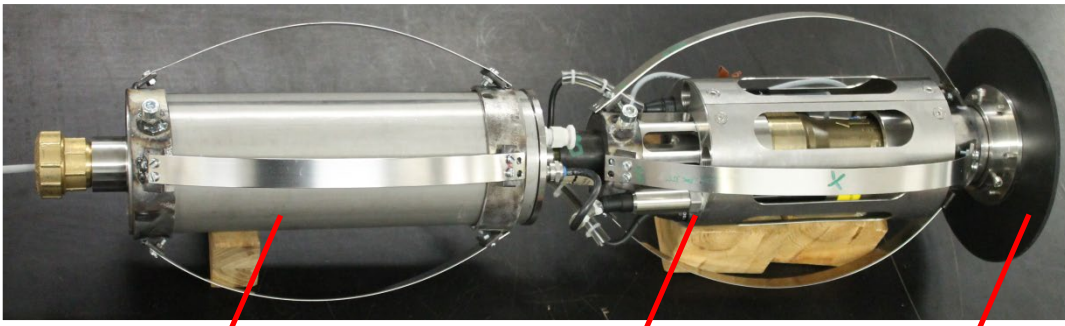




3. Erste Ergebnisse aus F/E zum HBr – HoriWell Inspector

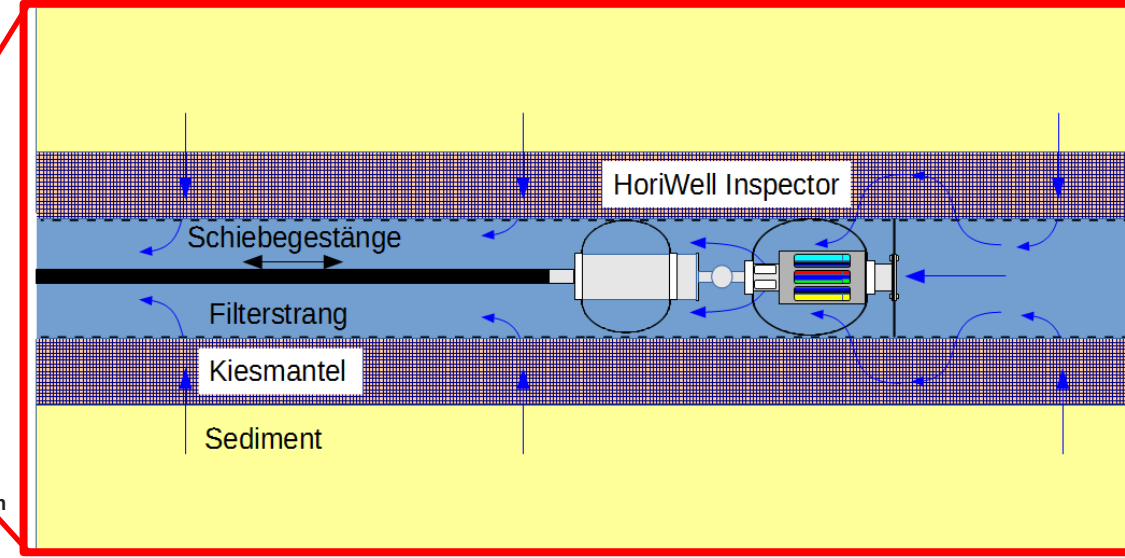


Funktionsträger eines In-situ-Messsystems zur Bestimmung des hydraulischen und geochemischen Zustandes von horizontalen Filtersträngen



Sondenkomponente

Packerscheibe













3. Erste Ergebnisse aus F/E zum HBr – HoriWell Inspector

Messungen am HBr 6 in SFB 10./11.09.18:

- Nullmessung ohne Pumpbetrieb
- Stationäre Messungen an mehreren Positionen bei verschiedenen Pumpstufen
- Sondenfahrt bei geringer Pumpstufe (6,3 m³/h)
- Tracerversuch: Infiltration von verdünnter Sole in der Säurespülleitung ohne Pumpbetrieb
- Befahrung und stationäre Messungen bei maximaler Pumpstufe (25 m³/h) nach Tracerexperiment





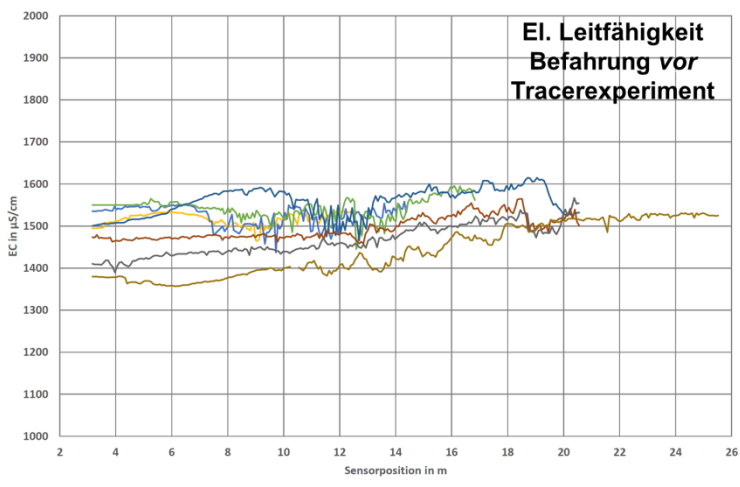


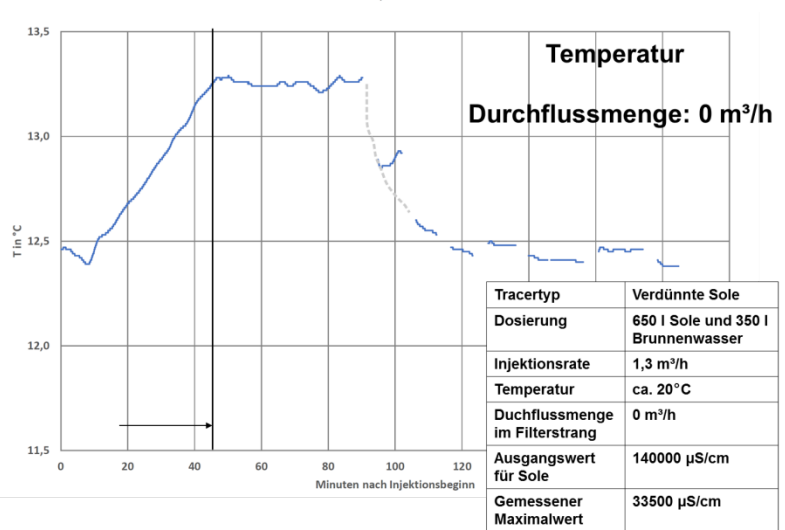


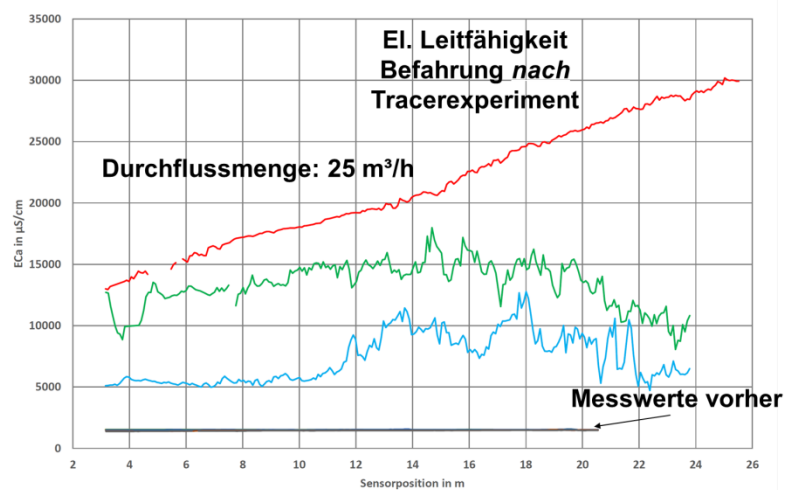


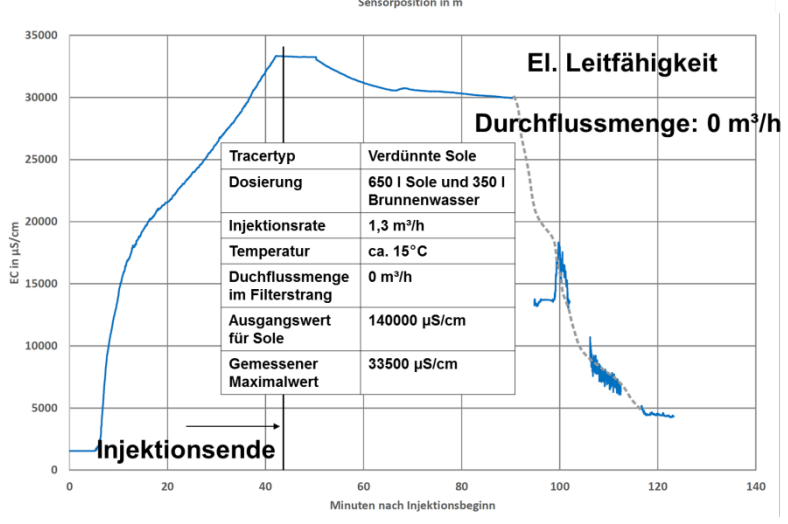
3. Erste Ergebnisse aus F/E zum HBr – HoriWell Inspector

Ergebnisse Strang 7u:













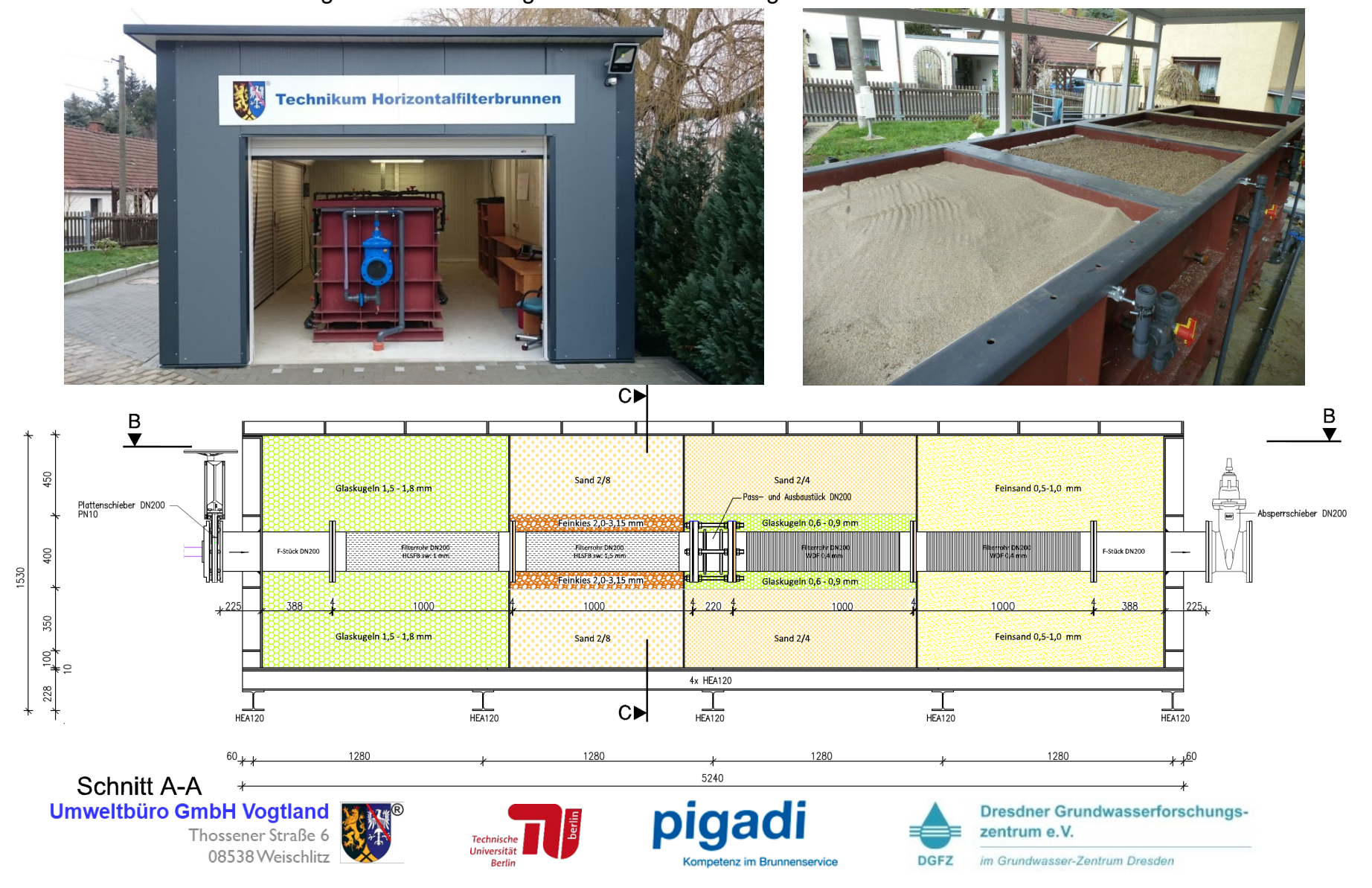






3. Erste Ergebnisse aus F/E zum HBr – Technikum Horizontalfilterbrunnen

Versuchsstand zur technologischen Entwicklung und Weiterentwicklung von Verfahren und Techniken für Horizontalfilterbrunnen



3. Erste Ergebnisse aus F/E zum HBr – Technikum Horizontalfilterbrunnen

Test: HoriWell Inspector





Test: Symmetrische Doppelkolbenkammer







zur Entsandung von Filterabschnitten nach dem Einsatz von Impulsgebern

Test Hochdruckspülung und Hydropuls®-Granaten:



die URACA und zum
Testen der LEMOHydropuls®-Granaten

DN200-Flansch mit Hochdruckspülleitung und Hochdruckgasleitung für LEMO







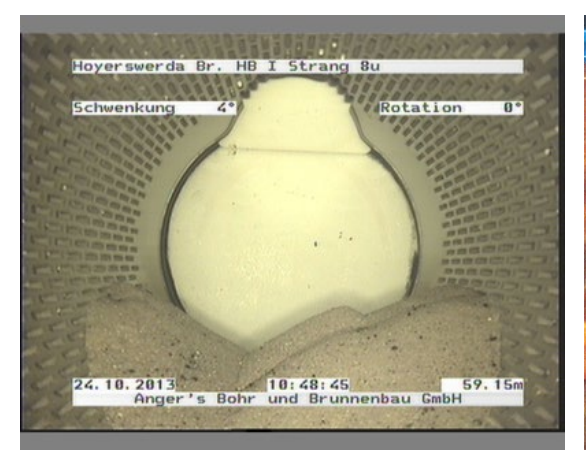




4. Erfahrungen bei der Regenerierung von Horizontalfilterbrunnen

Motivation für regelmäßiges Monitoring (Kamerabefahrung der Filter, Sandführung etc.)

Filtereinbrüche, Sanden von Filter wegen fehlender autostabiler Filter o. hydraulisches Überfahren von Filterabschnitte (z.B. wegen fehlender Dokumentation, Gazeverarbeitung) können unter Umstand zu erheblichen Gefährdungen führen (Grundbruch)















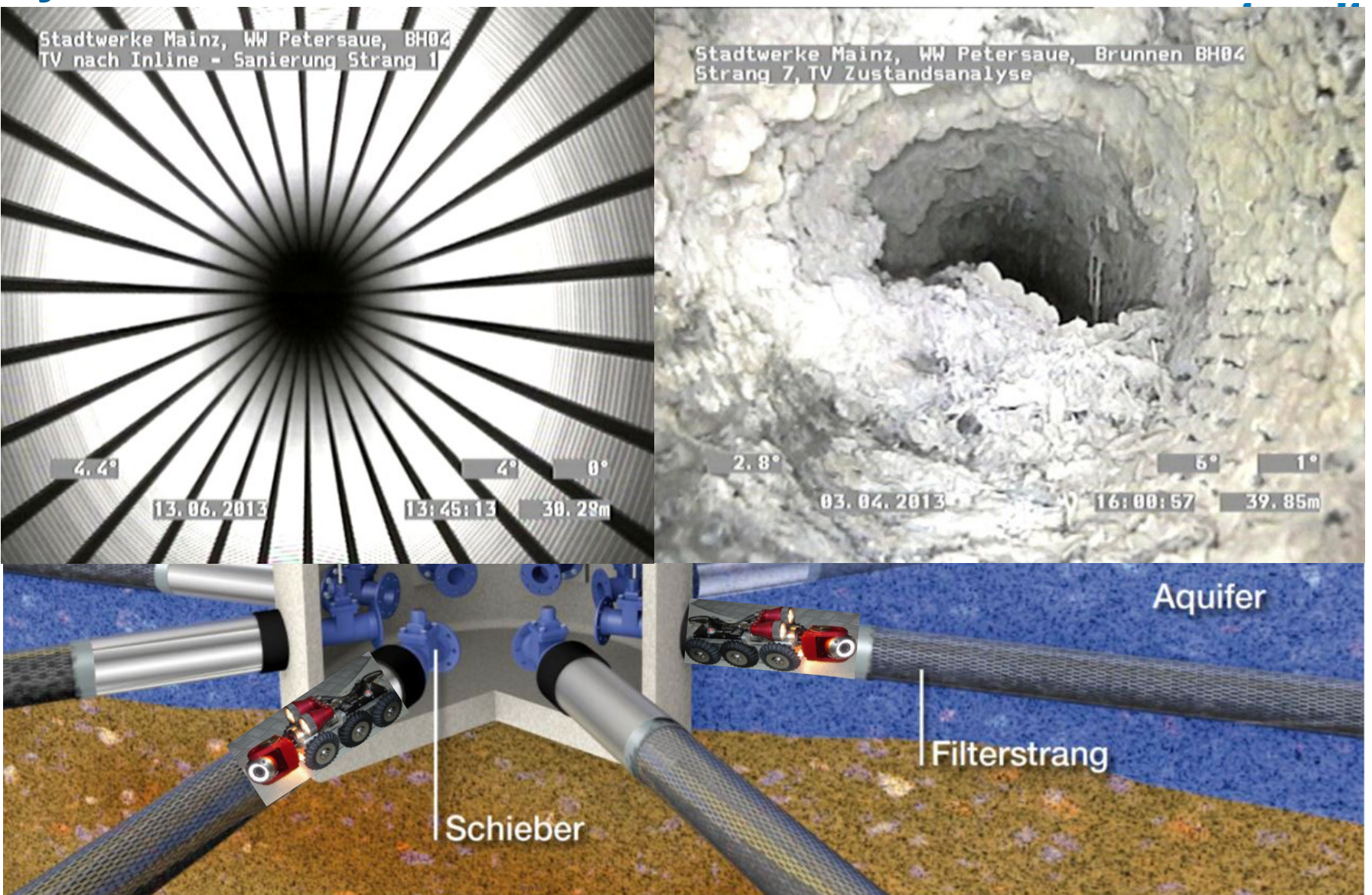


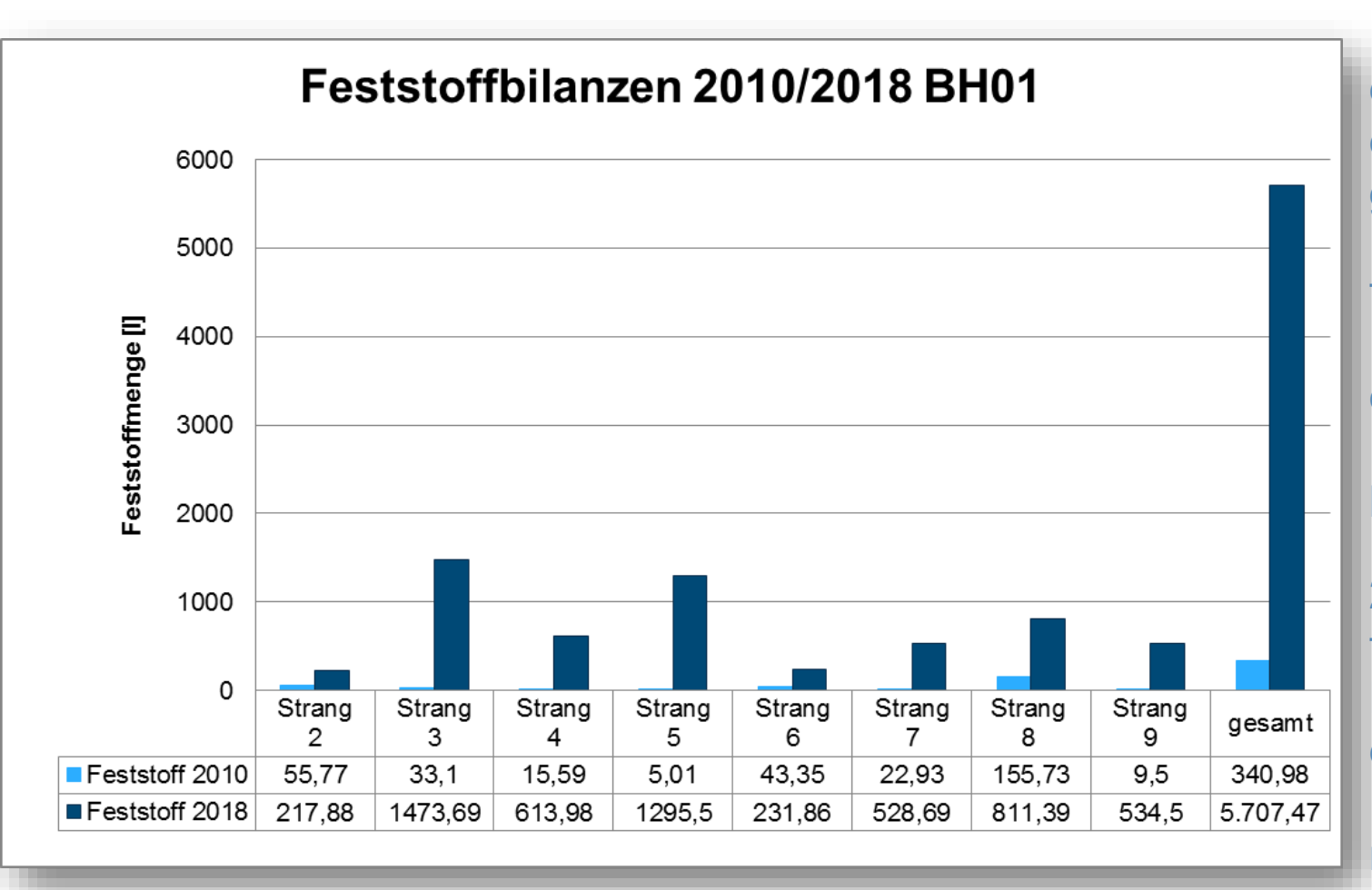




Wehrilau ZPW1

System Horizontalfilterbrunnen





1. Öffnung der Filterschlitze durch Entfernung der Feststoffablagerungen und

tiefenwirksame Impulsregenerati on mittels Hochdruck und hydropuls®

2. abschnittsorientierte
Nachentsandung
der einzelnen
Filterstränge
mittels flexiblem
Packerkammersystems

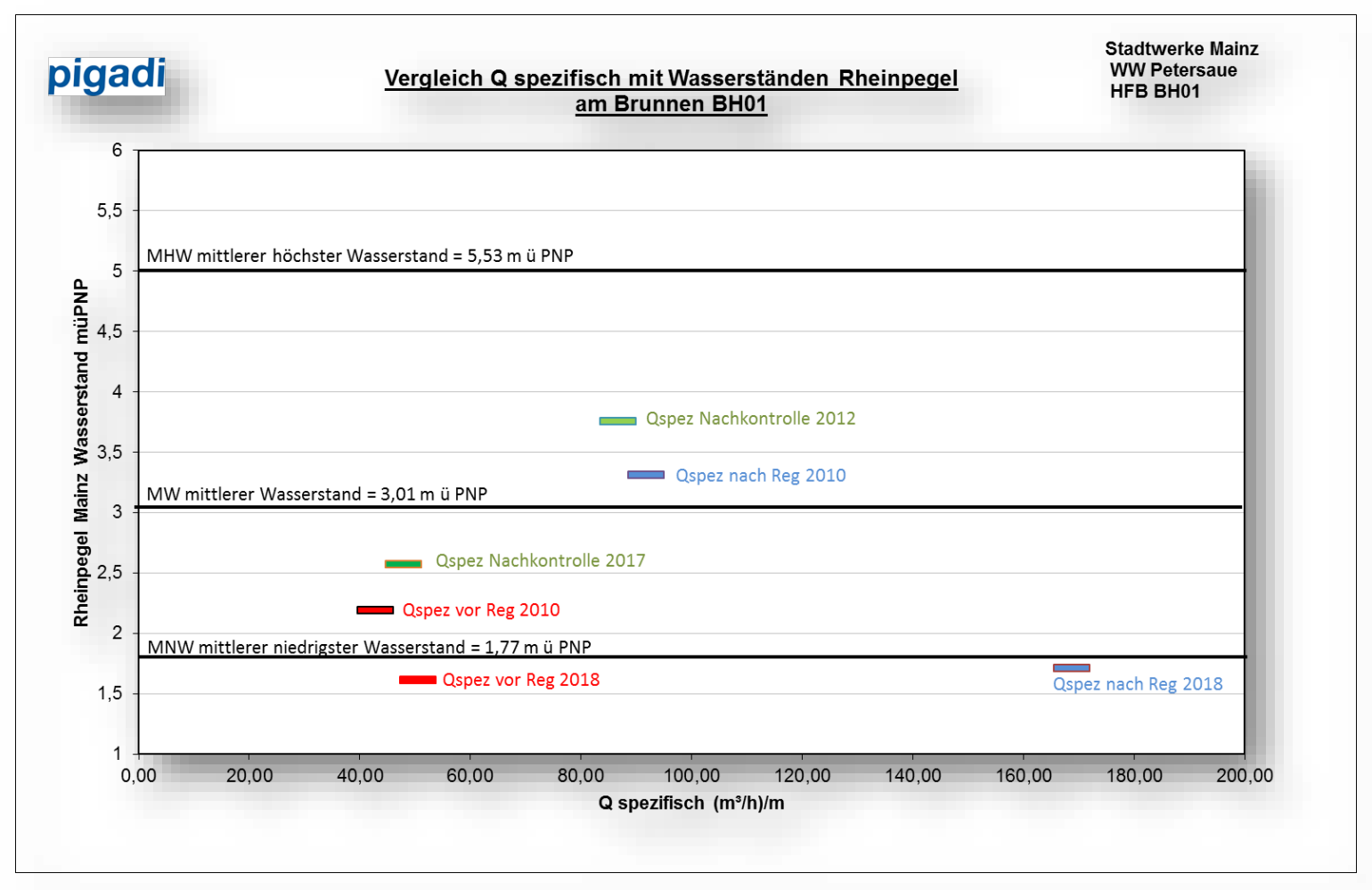








Vergleich der spezifische Ergiebigkeiten bei entsprechenden Rheinpegelständen



- hydraulische Leistung signifikant von Brunnenalterung abhängig (Rheinwasserstand kein übergeordneter Einfluss)









Brunnenspezifikation			verfahrensspez. Ergebnisse					
	Anzahl Stränge	Ø Stränge	Material Stränge	Filter- länge	durchgeführte Verfahren	Qspez vor Reg.	uspez nach	g g
ח	8	250	CrNi/SBF	307	PV / TV / HD / hp / FPK-Ents.	197,5	257,0	130%
					PV / TV / Bürsten / Ents.	183,0	188,0	103%
	10	180	Cu/SBF	346	PV / TV / HD / hp / FPK-Ents.	38,4	167,0	435%
					PV / TV / Bürsten / SS / IE	61,7	227,0	368%
pg								
Kies-Mantel-Filterausbau	6	250	CrNi/SBF	300	TV / HD / FPK-Ents. / (teilw. E-PV)	190,0	222,0	117%

	6	250	CrNi/SBF	300	TV / HD / FPK-Ents. / (teilw. E-PV)	250,0	259,0	104%
	8	175	Cu/SBF	303	PV / TV / HD / hp / FPK-Ents.	50,0	169,0	338%
					PV / TV / HD / hp / FPK-Ents.	41,5	94,5	228%
-SE								
Kie	9	183	Cu/SBF	300,5	PV / TV / HD / hp / FPK-Ents.	44,8	160,7	359%
	10	183	Cu/SBF	288	PV / TV / HD / hp / FPK-Ents.	62,5	81,8	131%
	10	183	Cu/SBF	335	PV / TV / HD / hp / FPK-Ents.	80,9	122,6	152%

Legende Regenerierverfahren:

TV: Kamerabefahrung

E-PV / PV: Einzel- / Gesamtpumpversuch IE: Intensiventnahme

FPK-Ents.: Flexible Packerkammer Entsandung HD: Hochdruck

hp: hydropuls® (Impulsverfahren)











SS: Sprengschocken®

5. Zusammenfassung

- 1. Die Applikationsbreite von Horizontalfilterbrunnen hat sich in den letzten Jahrzehnten deutlich erweitert und bewährt;
- 2. In Europa sind seid ca. 70 Jahren >> 350 HBr errichtet oder ertüchtigt worden, mit einer deutlich vielfältigen technischen Bandbreite;
- 3. HBr sind geeignet zur GW-Gewinnung, GW-Niederhaltung, zum Hochwasserschutz, hydrothermale Kälte-/Wärmeversorgung, Grundwasserüberführungen oder Dekontamination von GWL (Altlastensanierung) und Manches mehr;
- 4. Dies erfordert von Auftraggebern, Planern und Bauschaffenden gleichermaßen und gemeinsames Finden der besten Lösung
- 5. wo ihre Vorteile von der Planung, über Errichtung, Betrieb/Monitoring und Regenerierung beachtet wurden und deshalb zum Tragen kamen, sind sie vergleichsweise sogar wirtschaftlicher









- 6. die vorgestellten QS-Merkmale bei der Errichtung von HBr sind nicht ad hoc überall anzuwenden, aber für jeden Standort, jede geolog./hydrogeol. hydrochem. Besonderheit, für jede Bauausführungsart liegen nunmehr geeignete Qualitätsstandards vor.
- 7. Die rezente Entwicklung/Applikation neuer Methoden für die Bauvorbereitung/durchführung und Wartungsoptimierung von HBr lassen optimistisch noch eine bessere Wirtschaftlichkeit erwarten.
- 8. HBr bedürfen nunmehr verstärkte Aufmerksamkeit hinsichtlich Betriebserfahrungen, der Wartung, Instandsetzung und Regenerierung. Entwicklung applikativer Lösungen zum Beispiel:
 - Methodenvergleich von Regenerierungsverfahren in Anlehnung DVGW W 55/99
 - nachrüstbarer anodischer Verockerungsschutz in bestehende HBr
 - technische Lösung für anwendbaren Dreifachpacker (HBr in Trockenaufstellung)









"DES BERGMANNS WERK IST NICHT EINES MANNES WERK!"



VIELEN DANK FÜR IHRE AUFMERKSAMKEIT

GLÜCK AUF!

Das Quellenverzeichnis kann auf Wunsch zugesendet werden.







